



# БИООРГАНИЧЕСКАЯ ХИМИЯ

том 6 \* № 8 \* 1980

УДК 576.858.9+547.963.32.02:577.155.2.08

## СРАВНИТЕЛЬНЫЙ АНАЛИЗ ДНК ФАГОВ $\lambda att80$ , $\lambda att80rif^d35$ И $\lambda rif^d47$

*Гуревич А. И., Аваков А. Э., Киселева О. А.*

*Институт биоорганической химии им. М. М. Шемякина  
Академии наук СССР, Москва*

*Данилевская О. Н., Ковалев Ю. Н.*

*Институт молекулярной генетики Академии наук СССР, Москва*

В ДНК гибридного фага  $\lambda att80$  и трансдуцирующих фагов  $\lambda rif^d47$  и  $\lambda att80rif^d35$  установлено расположение сайтов действия рестриктаз *Eco RI* и *Hind III*. Путем сопоставления полученных рестриктазных карт, а также рестриктазной карты трансдуцирующего фага  $\lambda rif^d18$  показано размещение в изученных фагах участков ДНК  $\lambda$ , ДНК  $\emptyset 80$  и бактериальной ДНК *E. coli*. Определено положение в локусе *bfe* двух вторичных сайтов интеграции  $\lambda$  и примерное положение в этом локусе вторичного сайта интеграции  $\emptyset 80$ .

Вторичные сайты интеграции фагов  $\lambda$  и  $\emptyset 80$  в хромосому *E. coli* находятся в локусе *bfe*, расположенном на 88,5 мин генетической карты вблизи группы генов *rnn*, *rpl* и *gro*. Это позволяет получать на основе фагов  $\lambda$  и  $\emptyset 80$  различные трансдуцирующие фаги, включающие участки бактериальной ДНК *E. coli* с указанными генами и частью локуса *bfe*. В одном из таких трансдуцирующих фагов,  $\lambda rif^d18$ , содержится целиком оперон *groBC* (определяющий синтез  $\beta$ - и  $\beta'$ -белков РНК-полимеразы) [1], наиболее удаленный от локуса *bfe* из перечисленных выше генов. Ранее мы описали другой трансдуцирующий фаг,  $\lambda rif^d47$ , в котором оперон *groBC* содержится не полностью [2, 3]. Еще один трансдуцирующий фаг,  $\lambda att80rif^d35$ , созданный на основе гибридного фага  $\lambda att80$  (содержащего участок *att* из ДНК фага  $\emptyset 80$ ) [4, 5], содержит подобно  $\lambda rif^d18$  весь оперон *groBC*. Интересно было провести сравнительное изучение ДНК этих трансдуцирующих фагов для более детальной характеристики района интеграции фагов  $\lambda$  и  $\emptyset 80$  в локусе *bfe*. С этой целью мы сопоставили расположение в хромосомах трансдуцирующих фагов сайтов действия рестриктаз *EcoRI* и *HindIII*.

Для обнаружения фрагментов, образовавшихся при действии рестриктаз, либо только тех из них, которые являются концевыми в ДНК фагов, мы использовали избирательное введение радиоактивной  $^{32}\text{P}$ -метки в выступающие однонитевые концы фрагментов с помощью ДНК-полимеразы I *E. coli* и  $[\alpha-^{32}\text{P}]$ дезоксинуклеозидтрифосфатов, как это описано нами ранее [3]. Величины фрагментов были определены по их электрофоретической подвижности в 1 и 0,5% агарозном геле, а их число — по интенсивности флуоресценции соответствующих зон в гелях, прокрашенных раствором бромистого этидия (таблица).

Величина рестриктных фрагментов ДНК  $\lambda$ ,  $\lambda att80$ ,  $\lambda att80 rif^d35$  и  $\lambda rif^d47$  (в кнп), полученных при действии рестрикта *EcoRI* и *HindIII*

	$\lambda$			$\lambda att80$		$\lambda att80 rif^d35$			$\lambda rif^d47$	
	<i>EcoRI</i>	<i>HindIII</i>	<i>EcoRI/HindIII</i>	<i>EcoRI</i>	<i>HindIII</i>	<i>EcoRI</i>	<i>HindIII</i>	<i>EcoRI/HindIII</i>	<i>EcoRI</i>	<i>HindIII</i>
20,75 *	22,4 *	20,75	20,75	20,75 * 15,0	22,4 *		13,5 * 12,7			
		9,0			11,2	11,4	8,7	8,7 8,65	8,65	42,7 12,2 * 11,95
7,15	6,4				6,4	5,8 * 5,65	6,4	5,8	7,15	6,4
5,65		5,0	5,0	5,65					5,65	
5,25		4,85	4,85						5,1	
4,5	4,4 *	4,0	4,0		4,4 *				4,5 *	
3,6 *		3,6	3,6	3,6 *		3,6 * 2,8		4,85	4,4 *	
						2,3		3,6	3,6 *	
						2×2,05		2,8	2,8	
								2,4	2,4	
								2,3	2,3	
2,2		1,9	1,9					2,05	2×2,05	
1,9		1,7	1,7					1,75		
		1,55	1,55					1,55		
		1,25	1,25			1,2		1,2	1,2	
		0,9	0,9			1,1		1,1	1,1	
		0,8	0,8					0,8		
0,6			0,6		0,6		0,6	0,6	0,6	0,6
							0,3	0,55	0,3	0,3
								2×0,3		
46,9	46,9	44,4 (+2,5)	46,9	45,0	45,0	46,6	46,6	46,6	48,55	48,55

\* Концевые фрагменты.

Для большей достоверности расположения сайтов действия *EcoRI* и *HindIII*, а также для идентификации фрагментов одинакового размера, образующихся из ДНК разных фагов, использовали последовательную обработку обеими рестриктаазами. В таблице приведены размеры фрагментов (в кнп \*) *EcoRI/HindIII*, обнаруженные после действия *EcoRI* и введения радиоактивной метки с последующим расщеплением *HindIII*, либо фрагментов *HindIII/EcoRI*, обнаруженных после действия *HindIII* и введения метки с последующим расщеплением *EcoRI*. При этом фрагменты, не подвергшиеся расщеплению второй рестриктаазой, обладали вдвое большей радиоактивностью, чем расщепленные, а фрагменты, не содержащие радиоактивной метки, не обнаруживались. Составленные на основе полученных таким образом данных рестриктные карты приведены на рис. 1. На этом рисунке *EcoRI*-фрагменты ДНК  $\lambda$  обозначены, как и ранее [7], в порядке их расположения с левого конца; буквенные обозначения фрагментов остальных ДНК приведены в порядке возрастания их электрофоретической подвижности.

Полученная нами рестриктная карта ДНК  $\lambda$ , служившего исходным фагом при создании трансдуцирующих фагов  $\lambda rif^d47$  и  $\lambda rif^d48$ , отличается

\* кнп — число нуклеотидных пар в тысячах.

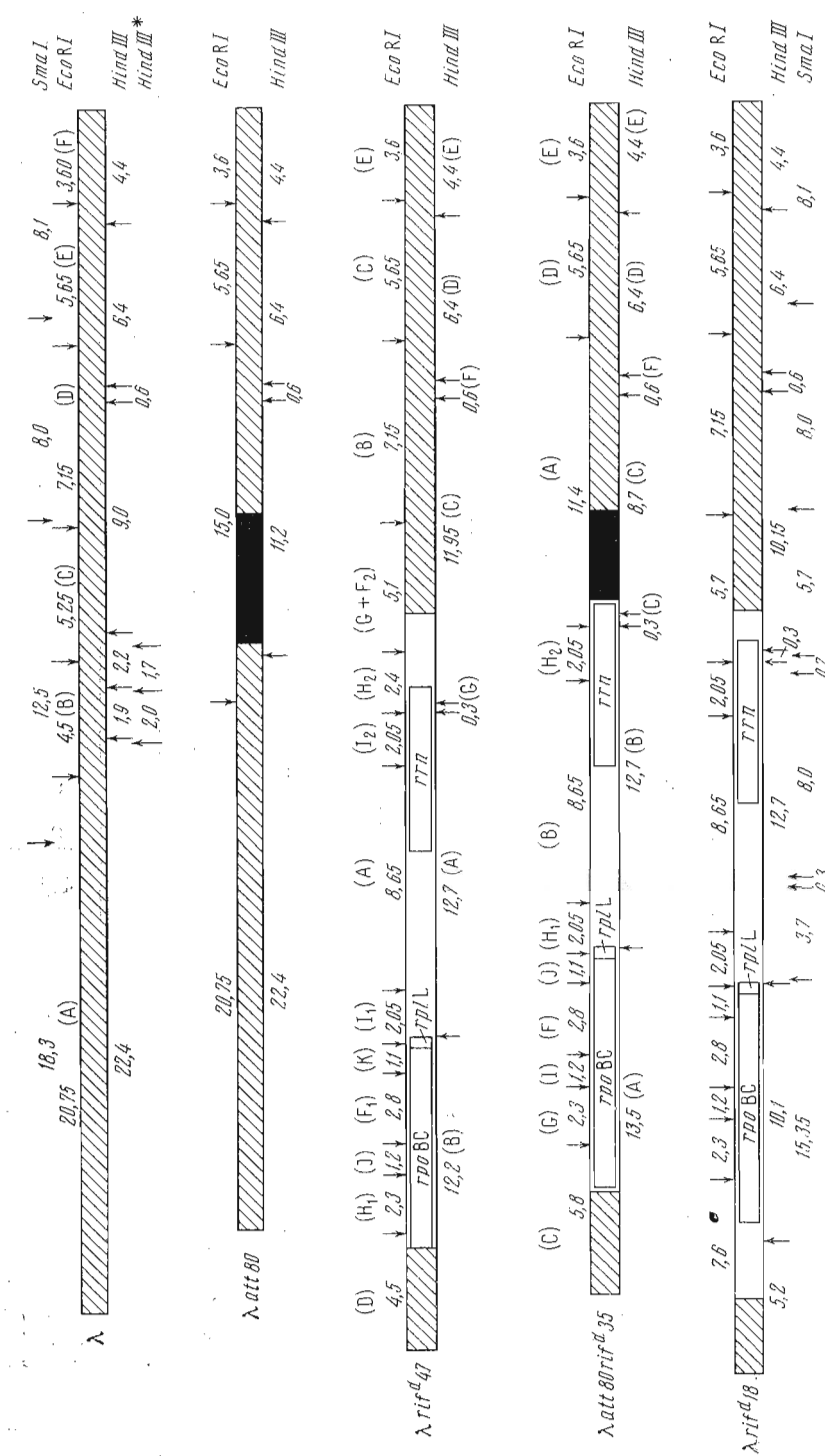


Рис. 1. Схема расположения ДНК фагов  $\lambda$ , *lambda80*, *lambda47*, *lambda80/lambda35* и *lambda/g18* рестриктазами *Bam*I, *Hind*III и *Sma*I. Расстояния между сайтами действия рестриктаз в ДНК *lambda*<sup>g18</sup> и отмеченные звездочкой данные по действию *Hind*III на ДНК  $\lambda$  приведены в соответствии с работами [1, 6]. Величины фрагментов приведены в кнн. Величина *Bco*RI-Фрагмента F ДНК  $\lambda$  приведена в соответствии с данными работы [3]. Собственная ДНК  $\lambda$  защищирована, ДНК  $\otimes 80$  защищена, ДНК *E. coli* оставлена светлой. В трансдуцирующих фагах указано положение бактериальных генов *rrn*, *gyr* и *gro*.

от приведенной в работе [1] лишь небольшим изменением положения трех левых сайтов действия рестриктазы *HindIII* (см. рис. 1).

ДНК фага  $\lambda$ *att80*, на основе которого получен трансдуцирующий фаг  $\lambda$ *att80rif<sup>d</sup>35, расщепляется рестриктазой *EcoRI* на 4 фрагмента (20,75; 15,0; 5,65 и 3,6 кнп), из которых концевыми являются наибольший и наименьший фрагменты. Эти концевые фрагменты и фрагмент 5,65 кнп совпадают с соответствующими фрагментами ДНК  $\lambda$ ; величина же 4-го фрагмента ДНК  $\lambda$ *att80* (15,0 кнп) меньше суммы остальных трех *EcoRI*-фрагментов ДНК  $\lambda$ . Отсюда следует, что в гибридном фаге делетированная часть ДНК  $\lambda$  больше вставки ДНК  $\emptyset 80$ , а также больше *EcoRI*-фрагмента С (5,25 кнп), в результате чего отсутствуют 2 сайта узнавания рестриктазой *EcoRI*. Рестриктаза *HindIII* расщепляет ДНК  $\lambda$ *att80* на 5 фрагментов, из которых концевые (22,4 и 4,4 кнп) и еще 2 (6,4 и 0,6 кнп) совпадают с 4 фрагментами ДНК  $\lambda$ , а последний (11,2 кнп) меньше суммы трех остальных *HindIII*-фрагментов ДНК  $\lambda$  (9,0; 2,2 и 1,9 кнп) на 1,9 кнп. Эта величина равна разнице между делетированной частью ДНК  $\lambda$  и вставкой ДНК  $\emptyset 80$ . Левая граница этой вставки должна находиться в пределах 22,4 и 24,3 кнп от левого конца ДНК  $\lambda$ *att80* или, точнее, в участке генетической гомологии родительских фагов  $\lambda$  и  $\emptyset 80$  в области *b2* [8], т. е. между 23,2–23,5 кнп от левого конца ДНК  $\lambda$ *att80* (см. рис. 1). Правая граница вставки ДНК  $\emptyset 80$  должна находиться не далее 16,4 кнп от правого конца ДНК (см. рис. 1) или, с учетом положения участка строгой гомологии  $\lambda$  и  $\emptyset 80$  в области генов *red* [8], между 16,0 и 16,4 кнп от правого конца ДНК. Вытекающий из этих дальнейших вывод о величине ДНК  $\lambda$ *att80* (45,0 кнп) согласуется с низкой плавучей плотностью частиц этого фага ( $d1,4957$  г/мл).*

Изображенная на рис. 1 *EcoRI*-эндонуклеазная карта ДНК  $\lambda$ *rif<sup>d</sup>47 отличается от составленной ранее [3] размером *EcoRI*-фрагмента  $H_2$  (2,4 вместо 2,3 кнп) и отсутствием дополнительного сайта в пределах *EcoRI*-фрагмента  $G+F_2$ . Ошибка в предыдущей работе была связана с тем, что причиной увеличенной радиоактивности зон *EcoRI*-фрагментов  $H_1$  и  $F$  считали присутствие в смеси фрагментов того же размера (2,3 и 2,8 кнп), образовавшихся при расщеплении фрагмента  $G+F_2$  (5,1 кнп), а целый фрагмент  $G+F_2$  принимали за продукт неполного гидролиза. В то же время для опытов по гибридизации с *rPHK* была использована трудно разделимая смесь фрагментов  $H_1$  и  $H_2$  (2,3 и 2,4 кнп). Исправление *EcoRI*-эндонуклеазной карты сделано на основании проверки числа фрагментов ДНК  $\lambda$ *rif<sup>d</sup>47 по результатам сканирования интенсивности флуоресценции зон в геле, прокрашенном бромистым этидием. Оказалось, что в смеси *EcoRI*-фрагментов ДНК трансдуцирующего фага  $\lambda$ *rif<sup>d</sup>47 и фага-помощника  $\lambda$  только фрагменты размерами 7,15; 5,65; 3,6 и 2,05 кнп образуют зоны с двойным количеством ДНК, а остальные фрагменты представлены каждый одной копией. Исправленная карта ДНК  $\lambda$ *rif<sup>d</sup>47 хорошо согласуется с размерами фрагментов, образующихся при ее расщеплении эндонуклеазой *HindIII*.****

При действии эндонуклеазы *EcoRI* на ДНК  $\lambda$ *att80rif<sup>d</sup>35 образуется 11 фрагментов, из которых 9 совпадают по величине с соответствующими фрагментами ДНК  $\lambda$ *rif<sup>d</sup>47. Остальные 2 *EcoRI*-фрагмента  $\lambda$ *att80rif<sup>d</sup>35 представляют собой концевой фрагмент С (5,8 кнп), который больше левого концевого *EcoRI*-фрагмента D  $\lambda$ *rif<sup>d</sup>47 (4,5 кнп), и наибольший фрагмент А (11,4 кнп), который существенно меньше суммы остальных 3 *EcoRI*-фрагментов  $\lambda$ *rif<sup>d</sup>47 (2,4; 5,1 и 7,15 кнп).*****

Следует отметить, что плавучая плотность фага  $\lambda$ *att80rif<sup>d</sup>35 не отличается от плавучей плотности фага  $\lambda$ , что свидетельствует о примерно одинаковом размере ДНК обоих фагов. С другой стороны, при действии эндонуклеазы *HindIII* на ДНК  $\lambda$ *att80rif<sup>d</sup>35 образуется 6 фрагментов, размеры которых указаны на рис. 1. Расположение сайтов действия *EcoRI***

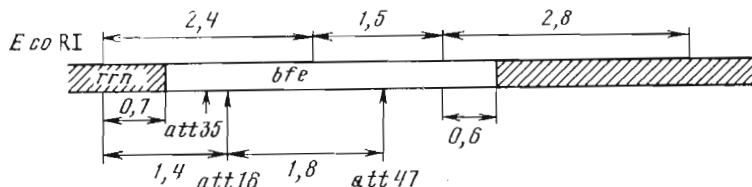


Рис. 2. Расположение вторичных сайтов интеграции фагов  $\lambda$  и  $\varnothing 80$ , приводящих к образованию  $\lambda rif^d18$  ( $att18$ ),  $\lambda rif^d47$  ( $att47$ ) или  $\lambda att80rif^d35$  ( $att35$ ) в локусе  $bfe$  и сайтов действия рестриктуры  $EcoRI$  в соответствующем участке хромосомы *E. coli* (расстояния приведены в кнп)

и *HindIII* в этой ДНК подтверждают также размеры фрагментов, образующихся при последовательном действии обеих рестриктаз.

Сопоставление рестриктуры карт бактериальной части генома с прилегающими районами фаговых генов в трансдуцирующих фагах  $\lambda rif^d47$  и  $\lambda att80rif^d35$ , а также описанной в литературе рестриктуры карты трансдуцирующего фага  $\lambda rif^d18$  [6] позволяет сделать следующие выводы.

Справа от гена *rrn* в ДНК всех 3 трансдуцирующих фагов содержатся участки локуса *bfe* различного размера. Границы локуса *bfe* в хромосоме *E. coli* и расположения в нем 2 сайтов действия эндонуклеазы  $EcoRI$  были установлены ранее при исследовании ДНК трансдуцирующих фагов  $\lambda darg$  [9, 10]. Расстояние между правым сайтом  $EcoRI$  в гене *rrn* и левым сайтом в локусе *bfe* должно соответствовать размеру  $EcoRI$ -фрагмента ДНК  $\lambda rif^d47$  (2,4 кнп). Это означает, что при образовании  $\lambda rif^d47$  используется сайт интеграции фага  $\lambda$ , находящийся в локусе *bfe* правее левого сайта  $EcoRI$  (рис. 2). В то же время, по данным работы [11], при образовании  $\lambda rif^d18$  используется другой сайт интеграции фага  $\lambda$ , находящийся на расстоянии 1,4 кнп от правого сайта  $EcoRI$  в гене *rrn* или на расстоянии ~0,7 кнп от границы локуса *bfe*. Расстояние между 2 сайтами интеграции фага  $\lambda$  в локусе *bfe*, очевидно, равно разности между суммарной длиной  $EcoRI$ -фрагментов  $\lambda rif^d47$  (2,4+5,1 кнп) и длиной центрального  $EcoRI$ -фрагмента ДНК  $\lambda rif^d18$  (5,7 кнп), т. е. составляет 1,8 кнп. Положение *att*-сайта фага  $\lambda att80rif^d35$  в локусе *bfe* можно рассчитать, исходя из известного расстояния между областью *red* и сайтом *att* фага  $\varnothing 80$ . Расчет показывает, что сайт *att35* находится вблизи сайта *att18* и, по-видимому, еще ближе к левой границе локуса *bfe*.

Левый участок бактериальной ДНК всех 3 трансдуцирующих фагов содержит оперон *rpoBC*. Ранее было показано [1], что этот оперон содержится также в наибольшем *SmaI*-фрагменте ДНК  $\lambda rif^d18$  паряду с геном рибосомного белка L7(L12), *rplL*, и что расстояние соответствующего сайта рестриктуры *SmaI* до ближайшего сайта *HindIII* очень мало. В этом *SmaI*-фрагменте ДНК  $\lambda rif^d18$  имеется еще 1 сайт рестриктуры *HindIII*, расположенный на расстоянии 2,3 кнп слева от самого левого сайта  $EcoRI$ . При сравнении ДНК 2 других трансдуцирующих фагов видно (см. рис. 1), что этот сайт рестриктуры *HindIII* в них отсутствует. Следовательно, в концевом  $EcoRI$ -фрагменте ДНК  $\lambda att80rif^d35$ , который короче концевого  $EcoRI$ -фрагмента ДНК  $\lambda rif^d18$  на 1,8 кнп, содержится менее 2,3 кнп бактериальной ДНК. В этом участке бактериальной ДНК заключена часть оперона *rpoBC*, отсутствующая в ДНК  $\lambda rif^d47$ . Соответствующий концевой  $EcoRI$ -фрагмент ДНК  $\lambda rif^d47$  еще короче (на 1,3 кнп), и в нем, судя по результатам гетеродуплексного анализа, проведенного В. Б. Федосеевой, содержится ~4 кнп собственной ДНК  $\lambda$ . Из этих данных вытекает, что конец оперона *rpoBC* расположен в ДНК изученных трансдуцирующих фагов на расстоянии 1,3–2,3 кнп от самого левого сайта  $EcoRI$ , а его

начало находится в ДНК  $\lambda rif^d47$  и  $\lambda att80rif^d35$  в пределах концевых *Hind*III-фрагментов (соответственно фрагментов В и А).

Расположение в ДНК  $\lambda rif^d18$  сайтов рестриктазы *Sma*I таково [1], что следует ожидать расщепления этой рестриктазой всех *Eco*RI-фрагментов ДНК  $\lambda rif^d47$ , кроме правого концевого и расположенных в пределах фрагмента *Hind*III-В, т. е. охватывающих область оперона *gro*BC (см. рис. 1). Это обстоятельство мы использовали при конструировании химерных плазмид, содержащих *Eco*RI-фрагменты F<sub>1</sub>, H<sub>1</sub>, J и K, описанных в следующем сообщении\*. В то же время для препаративного выделения центрального фрагмента *Hind*III-В мы также применили предварительное расщепление рестриктазой *Sma*I. При этом два других, близких по размеру фрагмента (*Hind*III-А и *Hind*III-С) подвергались расщеплению (см. рис. 1) и могли быть легко отделены. Кроме того, обработка двумя рестриктазами, *Sma*I и *Hind*III, приводила к образованию мелких фрагментов из большей части ДНК фага  $\lambda$ , используемого в качестве фага-помощника и трудно отделимого от фага  $\lambda rif^d47$ . Фрагмент *Hind*III-В, выделенный после такой обработки с помощью гель-электрофореза, был затем использован при составлении более детальной рестриктазной карты.

Авторы выражают благодарность В. И. Таняшину (ИБФМ АН СССР) и П. М. Чумакову (ИМБ АН СССР) за предоставление штаммов-продуцентов рестриктаз, И. М. Грубер (НИИВС им. Мечникова) за выращивание микроорганизмов рода *Haemophilus*, Ж. М. Горленко (ИМГ АН СССР) за выделение ДНК фагов  $\lambda att80$  и  $\lambda att80rif^d35$ , А. С. Боровику (ИМГ АН СССР) за измерение интенсивности флуоресценции гелей и В. Б. Федосеевой (ИМГ АН СССР) за гетеродуплексный анализ ДНК  $\lambda rif^d47$ .

### Экспериментальная часть

Штаммы *Serratia marcescens* и *Haemophilus parainfluenzae* получены от В. И. Таняшина (ИБФМ АН СССР, Пущино), *Haemophilus influenzae Rd* и *Haemophilus aegypticus* – от П. М. Чумакова (ИМБ АН СССР). Выращивание микроорганизмов рода *Haemophilus* проводила И. М. Грубер (НИИВС им. Мечникова, Москва). ДНК фагов  $\lambda att80$  и  $\lambda att80rif^d35$  получены от Ж. М. Горленко (ИМГ АН СССР).

**Буферные растворы:** A – 10 мМ три-НCl, 10 мМ  $\beta$ -меркаптоэтанол, pH 7,9; B – 10 мМ К-фосфат, 1 мМ EDTA, 7 мМ  $\beta$ -меркаптоэтанол, 0,015% тритон X-100, pH 7,0; B' – аналогичен B, pH 7,8; Г – аналогичен B, в 50% глицерине; D – 10 мМ три-НCl, 10 мМ  $\beta$ -меркаптоэтанол, 1 М NaCl, pH 7,9; E – 10 мМ К-фосфат, 10 мМ  $\beta$ -меркаптоэтанол, 0,1 мМ EDTA, 10% глицерина, pH 7,4; Ж – аналогичен E, в 50% глицерине; З – 10 мМ три-НCl, 0,1 мМ MgCl<sub>2</sub>, pH 7,6; И – 90 мМ три-борат, 2,5 мМ EDTA, pH 8,3; K – 0,9 М три-НCl, 0,1 М MgCl<sub>2</sub>, pH 7,4; Л – 0,1 М три-НCl, 0,1 М MgCl<sub>2</sub>, 0,1 М  $\beta$ -меркаптоэтанол, pH 1,6; М – 0,2 М три-НCl, 0,1 М MgCl<sub>2</sub>, 0,1 М  $\beta$ -меркаптоэтанол, pH 7,5; Н – 50 мМ TEAB, pH 8,0; О – 30 мМ три-НCl, 10 мМ MgCl<sub>2</sub>, 10 мМ  $\beta$ -меркаптоэтанол, pH 9,0.

**Реактивы и сорбенты:** три- (Reanal, Германия); трилон X-100, сахароза и EDTA (Serva, ФРГ); оксиапатит (биогель НТР), агароза и биогель А (Bio-Rad, США); [ $\alpha$ -<sup>32</sup>P]dNTP (150–250 Ки/ммоль, Amersham, Англия); dNTP и дитиотрейт (Calbiochem, США); DEAE-целлюлоза DE-52 и фосфоцеллюлоза P-11 (Whatman, Англия). Суммарную тРНК (Boehringer, ФРГ) перед употреблением растворяли в буфере З, трижды экстрагировали фенолом, насыщенным тем же буфером, к водному слою прибавляли двойной объем спирта, выпавшую тРНК отделяли центрифугированием и дважды переосаждали из воды двойным объемом спирта; 1% водный раствор очищенной таким образом суммарной тРНК хранили при –20° С. АГМА-био-

\* См. стр. 1205 в этом же номере.

тель \* А 1,5м готовили из биогеля А 1,5м путем цианирования BrCN по методу [15] и последующей обработки гексаметилендиамином по методу [16].

**Ферменты.** Рестрикционные эндонуклеазы (КФ 3.1.4.32): *EcoRI* выделена из *E. coli* по методу [12]; *SmaI*, *HindII*, *HindIII*, *HpaI*, *HpaII* и *HaeIII* выделены из микроорганизмов-продуцентов по неопубликованным рекомендациям Р. Дж. Робертса с некоторыми уточнениями методик; клетки микроорганизмов при 0–4° С разрушали ультразвуком в буфере *A*, центрифугировали 2 ч при 100 000g, супернатант обрабатывали раствором сульфата стрептомицина (до 2%) (*SmaI* – в присутствии 70 мкг/мл фенилметилсульфонилфторида) и затем высаливали  $(\text{NH}_4)_2\text{SO}_4$ . *SmaI* выделяли далее из фракции белков, выпадающих в 2,0–3,3 М  $(\text{NH}_4)_2\text{SO}_4$ , путем хроматографии на DEAE-целлюлозе DE-52 (градиент концентрации (0–0,5 М) KCl в буфере *B*, активные фракции – в 0,14–0,22 М KCl) и затем на фосфоцеллюлозе P-11 (градиент концентрации (0–1,0 М) NaCl в буфере *B*, активные фракции – в 0,40–0,55 М NaCl), дилизовали против буфера *B*, затем против буфера *Г* и хранили при –20° С. *HindII* выделяли из фракции белков, выпадающих в 2,0 М  $(\text{NH}_4)_2\text{SO}_4$ , путем хроматографии на биогеле А 0,5м в буфере *D* (активные фракции – в 1,5–3 исключенного объема колонки) и затем на DEAE-целлюлозе DE-52 (градиент концентрации (0–0,3 М) KCl в буфере *E*, активные фракции – в 0,12–0,25 М KCl), дилизовали против буфера *Ж* и хранили при –20° С. *HindIII* выделяли из фракции белков, выпадающих в 2,0–2,9 М  $(\text{NH}_4)_2\text{SO}_4$ , путем хроматографии на биогеле А 0,5м в буфере *D* (активные фракции – в 1,2–1,6 исключенного объема колонки) и затем на DEAE-целлюлозе DE-52 в буфере *E* (активная фракция в этом буфере не задерживается катионитом), дилизовали против буфера *Ж* и хранили при –20° С. *HpaI* и *HpaII* выделяли из фракции белков, выпадающих при концентрации  $(\text{NH}_4)_2\text{SO}_4$  до 2,2 М, путем хроматографии на фосфоцеллюлозе P-11 (ступенчатая элюция растворами KCl (0–0,2–0,4–0,6 М) в буфере *E*, активные фракции *HpaI* в 0,4 М KCl, *HpaII* – в 0,6 М KCl), *HpaI* дополнительно очищали хроматографией на АГМА-биогеле А 1,5м (градиент концентрации (0,2–0,8 М) NaCl в буфере *E*, активные фракции – в 0,5–0,6 М NaCl), дилизовали против буфера *E*, затем против буфера *Ж* и хранили при –20° С. Для выделения *HaeIII* раствор до высаливания  $(\text{NH}_4)_2\text{SO}_4$  подвергали хроматографии на биогеле А 0,5м в буфере *D*, затем к активным фракциям (выходящим в 1,2–1,7 исключенного объема колонки) прибавляли  $(\text{NH}_4)_2\text{SO}_4$  до концентрации 2,3 М и выпавшую фракцию белков хроматографировали на фосфоцеллюлозе P-11 (градиент концентрации (0–1,0 М) KCl в буфере *E*, активные фракции – в 0,3–0,7 М KCl), дилизовали против буфера *Ж* и хранили при –20° С. За единицу активности рестриктаз принимали количество фермента, расщепляющее 1 пмоль фосфодиэфирной связи в ДНК за 1 мин при 37° С (*SmaI* – при 30° С). ДНК-полимераза I (КФ 2.7.7.7) выделена из *E. coli* В по методу [13] и действием субтилизина превращена в полимеразу Кленова по методу [14].

Малые количества ДНК осаждали из их растворов в присутствии тРНК-носителя. Для этого к раствору (от 50 мкл до 1 мл) прибавляли 5 мкл 1% раствора суммарной тРНК,  $\frac{1}{10}$  объема 3 М AcONa и двойной объем спирта, замораживали при –70° С, оттаивали, центрифугировали 15 мин при 4000 об/мин, осадок суспендировали в 0,2–1,0 мл спирта, снова центрифугировали 10 мин при 4000 об/мин и высушивали в вакууме.

Электрофорез радиоактивных ДНК в 0,5 и 1% агарозном геле проводили в пластинах (400×200×1 мм) в буфере *И* и радиоавтографы получали на рентгеновской пленке Kodak XR-5. Перед нанесением на гель к образцу прибавляли 10% по объему 50% раствора сахарозы в 10 мМ EDTA, содержащего по 0,02% маркерных красителей – бромфенолового синего и

\* АГМА-биогель – аминогексаметиленаминобиогель.

ксиленцианола *FF*. Измерение интенсивности флуоресценции проводили на сканирующем флуориметре конструкции А. С. Боровика (ИМГ АН СССР), используя электрофорез в столбиках 1% агарозного геля ( $140 \times 6$  мм), прокрашивание — раствором бромистого этидия (1 мг/л); возбуждающее излучение с  $\lambda$  300–400 нм, измерение флуоресценции с  $\lambda_{\text{макс}}$  590 нм.

*Определение размеров EcoRI- и HindIII-фрагментов ДНК  $\lambda$ ,  $\lambda$ att80,  $\lambda$ att80rif<sup>d</sup>35 и  $\lambda$ rif<sup>d</sup>47.* К раствору 3 мкг (0,1 пмоль) ДНК  $\lambda$ ,  $\lambda$ att80,  $\lambda$ att80rif<sup>d</sup>35 или  $\lambda$ rif<sup>d</sup>47, меченных по «липким» концам, как описано в работе [3], в 50 мкл воды прибавляли 6 мкл буфера *K* и 1 мкл (0,01 ед. акт.) раствора рестриктазы *EcoRI* или 6 мкл буфера *L* и 3 мкл (0,01 ед. акт.) раствора рестриктазы *HindIII*, инкубировали 1 ч при 37° С и подвергали электрофорезу в пластине агарозного геля рядом с эталонным набором *EcoRI*-фрагментов ДНК  $\lambda$ rif<sup>d</sup>47. Найденные величины концевых фрагментов приведены в таблице и на рис. 1.

3 мкг ДНК  $\lambda$ ,  $\lambda$ att80,  $\lambda$ att80rif<sup>d</sup>35 или  $\lambda$ rif<sup>d</sup>47 расщепляли рестриктазой *EcoRI* или *HindIII*, полученные наборы фрагментов осаждали с тРНК-носителем, растворяли в 30 мкл воды, прибавляли 20 мкл буфера *M*, по 5 мкл 5 мМ растворов dGTP, dCTP и dTTP и 5 мкл 30 мкМ раствора [ $\alpha$ -<sup>32</sup>P]dATP и 1 мкл (1 ед. акт.) раствора ДНК-полимеразы Кленова. Полимеразную реакцию проводили 15 мин при комнатной температуре и останавливали, прибавляя 20 мкл 0,5 М EDTA. Затем раствор обессоливали фильтрацией через колонку (0,7×15 см) с биогелем А 1,5м в буфере *H*, контролируя процесс с помощью приставки МСФП-1 и счетчика Гейгера типа *Thiac-III*, ДНК осаждали с тРНК-носителем, растворяли и подвергали электрофорезу в пластине агарозного геля. Найденные величины *EcoRI*- и *HindIII*-фрагментов приведены в таблице и на рис. 1.

Наборы меченых по концам *EcoRI*-фрагментов ДНК  $\lambda$  и  $\lambda$ att80rif<sup>d</sup>35, полученных как описано выше, растворяли и расщепляли рестриктазой *HindIII* в приведенных выше условиях и затем смесь *EcoRI/HindIII*-фрагментов подвергали электрофорезу в пластинах агарозного и полиакриламидного геля. Найденные величины *EcoRI/HindIII*-фрагментов приведены в таблице.

Набор меченых по концам *HindIII*-фрагментов ДНК  $\lambda$ , полученный как описано выше, растворяли и расщепляли рестриктазой *EcoRI* в приведенных выше условиях и затем смесь *HindIII/EcoRI*-фрагментов подвергали электрофорезу в пластинах агарозного и полиакриламидного геля. Найденные величины *HindIII/EcoRI*-фрагментов приведены в таблице.

*Получение HindIII-фрагмента В ДНК  $\lambda$ rif<sup>d</sup>47.* 1 мг смеси ДНК  $\lambda$ rif<sup>d</sup>47 и ДНК  $\lambda$ , полученной как описано в работе [3], растворяли в 5 мл буфера *O*, прибавляли 0,5 мл раствора рестриктазы *SmaI* (0,2 ед. акт.) и инкубировали 3 ч при 30° С до завершения гидролиза, следя за его полнотой с помощью электрофореза аликов (по 20 мкл) в 1% агарозном геле. Затем к раствору прибавляли 0,5 мл 3 М AcONa и 10 мл спирта, замораживали при –70° С, оттаивали, центрифугировали 10 мин при 4000 об/мин, осадок высушивали в вакууме и растворяли в 1 мл воды. К полученному раствору прибавляли 100 мкл буфера *L* и 100 мкл раствора рестриктазы *HindIII* (0,3 ед. акт.), инкубировали 4 ч при 37° С до завершения гидролиза, следя за его полнотой с помощью электрофореза аликов (по 5 мкл) в 1% агарозном геле. Затем к раствору прибавляли 50 мкл 50% раствора сахарозы в 10 мМ EDTA, содержащего по 0,02% бромфенолового синего и ксиленцианола *FF*, наносили на 1% агарозный гель в буфере *II* в 6 трубках размером 1,4×15 см и проводили электрофорез при напряжении 40 В до прохождения ксиленцианолом *FF* расстояния 10 см.

После прокрашивания столбиков геля раствором бромистого этидия (1 мг/л) верхние 4 зоны ( $R_{FF}$  0,55; 0,60; 0,65 и 0,75) вырезали и ДНК из них извлекали как описано ранее [3]. По 0,2 мкг ДНК из полученных фракций и контрольный образец ДНК  $\lambda$ rif<sup>d</sup>47 гидролизовали *EcoRI*, вво-

дили радиоактивную метку с помощью ДНК-полимеразы и [ $\alpha$ - $^{32}$ P]dATP, как описано ранее [3], и подвергали электрофорезу в 1% агарозном геле. Лишь в ДНК из зон с  $R_{FF}$  0,60 и 0,75 обнаружены полосы EcoRI-фрагментов К и Й. Следовательно, в этих зонах содержится HindIII-фрагмент В. Выход HindIII-фрагмента В составлял 30–50 мкг.

#### ЛИТЕРАТУРА

1. Lindahl L., Yamamoto M., Nomura M., Kirschbaum J. B., Allet B., Rochaix J.-D. (1977) *J. Mol. Biol.*, **109**, 23–47.
2. Миндлин С. З., Ильина Т. С., Горленко Ж. М., Хачикян Н. А., Ковалев Ю. Н. (1976) *Генетика*, **12**, 116–130.
3. Гуревич А. И., Аваков А. Э., Киселева О. А., Колесов М. Н. (1978) *Биоорган. химия*, **4**, 628–638.
4. Ильина Т. С., Зворыкина Н. М., Нечаева Е. В., Сварчевский А. Н., Рыбчин В. Н. (1977) *Генетика*, **13**, 1809–1820.
5. Ильина Т. С., Нечаева Е. В. (1977) *Генетика*, **13**, 2181–2188.
6. Boros I., Kiss A., Venetianer P. (1979) *Nucl. Acids Res.*, **6**, 1817–1830.
7. Thomas M., Davis R. W. (1975) *J. Mol. Biol.*, **91**, 315–328.
8. Fiandt M., Hradecna Z., Lozeron H. A., Szybalski W. (1971) in: *The Bacteriophage Lambda* (Hershey A. D., ed.), pp. 329–354, Cold Spring Harbor, N. Y.
9. Devine E. A., Moran M. C., Jederlinic P. J., Mazaitis A. J., Vogel H. J. (1977) *J. Bacteriol.*, **129**, 1072–1077.
10. Mazaitis A. J., Palchaudhuri S., Glandsdorff N., Maas W. K. (1976) *Mol. Gen. Genet.*, **143**, 185–196.
11. Glaser G., Enquist L., Cashel M. (1977) *Gene*, **2**, 159–172.
12. Tanaka T., Weisblum B. (1975) *J. Bacteriol.*, **121**, 354–362.
13. Jovin T. M., Englund P. T., Bertsch I. L. (1969) *J. Biol. Chem.*, **244**, 2996–3008.
14. Klenow H., Henningsen J. (1970) *Proc. Nat. Acad. Sci. USA*, **65**, 169–175.
15. Bickle T. A., Pirrotta V., Imber R. (1977) *Nucl. Acids Res.*, **4**, 2561–2572.
16. Shaltiel Sh., Er-el Z. (1973) *Proc. Nat. Acad. Sci. USA*, **70**, 778–781.

Поступила в редакцию  
26.XI.1979

#### COMPARATIVE ANALYSIS OF $\lambda$ att80, $\lambda$ att80rif<sup>d35</sup> AND $\lambda$ rif<sup>d47</sup> PHAGE DNAs

GUREVICH A. I., AVAKOV A. E., KISELEVA O. A.,  
DANILEVSKAYA O. N., KOVALEV Yu. N.

*M. M. Shemyakin Institute of Bioorganic Chemistry, Academy  
of Sciences of the USSR, Moscow;  
Institute of Molecular Genetics, Academy of Sciences  
of the USSR, Moscow*

The positions of EcoRI and HindIII sites are determined in DNAs of hybrid phage  $\lambda$ att80 and transducing phages  $\lambda$ rif<sup>d47</sup> and  $\lambda$ att80rif<sup>d35</sup>. The comparison of the restriction maps thus obtained and the map of  $\lambda$ rif<sup>d48</sup> DNA published earlier elucidate the disposition of the regions of  $\lambda$  DNA,  $\emptyset$  80 DNA and *E. coli* bacterial DNA in the phage DNAs. The positions are found of secondary sites of integration into the locus *bfe* of the phage  $\lambda$  (two sites) and the phage  $\emptyset$  80 (approximate position of one site).